

6) Integration und Splines

6.1) Quadraturformeln; "Basics"

Problem: Seien $a < b < \infty$ und $w: (a, b) \rightarrow \mathbb{R}$
 stetig, integrierbar und positiv.
 w ist eine Gewichtsfunktion.

Ziel: Für Funktionen $f: [a, b] \rightarrow \mathbb{R}$,
 suchen wir

$$I_w(f) := \int_a^b f(x) w(x) dx$$

Fall 1: Man findet eine Stammfunktion von $f(x)w(x)$.
 (Spezialfall) $\Rightarrow \checkmark$.

Fall 2: Allgemein existiert keine schöne Formel
 für die Stammfunktion von $f(x)w(x)$.
 \Rightarrow Numerische Integration.

Def. 1: Eine Quadraturformel ist eine
 Abbildung $Q_{[a,b]}: C([a,b]) \rightarrow \mathbb{R}$ der Form

$$Q_{[a,b]}(f) = \sum_{k=0}^m w_k \cdot f(x_k)$$
 mit Stützstellen $x_0 < x_1 < \dots < x_m$, $x_k \in [a,b]$
 und Gewichten $w_0, \dots, w_m \in \mathbb{R}$.

Def. 2) Ein Quadraturverfahren ist eine Folge

$n \mapsto Q_n(f)$ $n \geq 1$, wobei

$$Q_n(f) := \sum_{k=0}^{n-1} Q_{[x_k, x_{k+1}]}(f), \quad x_k := a + \frac{b-a \cdot k}{n}$$

- Fragen: (1) Für welche Funktionen f ist eine Quadraturformel $Q_{[a,b]}(f) = I_w(f)$?
- (2) Sei $h := \frac{b-a}{n}$. Wie gut ist die Approximation von $I_w(f)$ durch $Q_n(f)$?

Def 3) (a) Die Quadraturformel $Q_{[a,b]}$ hat Exactheitsgrad $r \in \{1, 2, 3, \dots\}$ falls

$$Q_{[a,b]}(p) = I_w(p)$$

für alle $p \in \mathbb{P}_r$.

(b) Das Quadraturverfahren Q_n hat Konsistenzordnung $s \geq 0$, falls

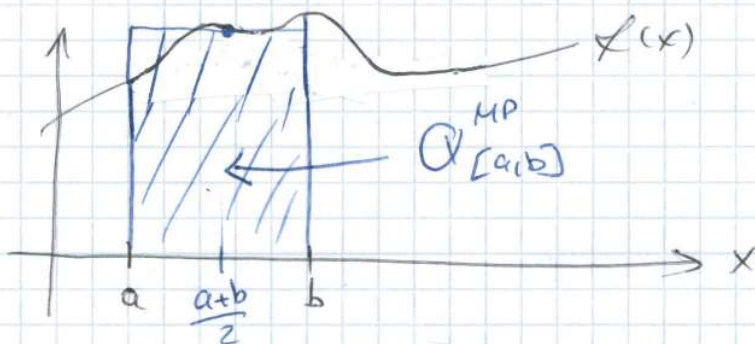
$$|Q_n(f) - I_w(f)| = O\left(\frac{1}{n^s}\right) = O(h^s)$$

für alle $f \in C^\infty([a,b])$.

Beispiele: (1) Mittelpunktformel. Sei $w \equiv 1$, $h := \frac{b-a}{n}$.

$$\Rightarrow Q_{[a,b]}^{\text{MP}}(f) = (b-a) f\left(\frac{a+b}{2}\right)$$

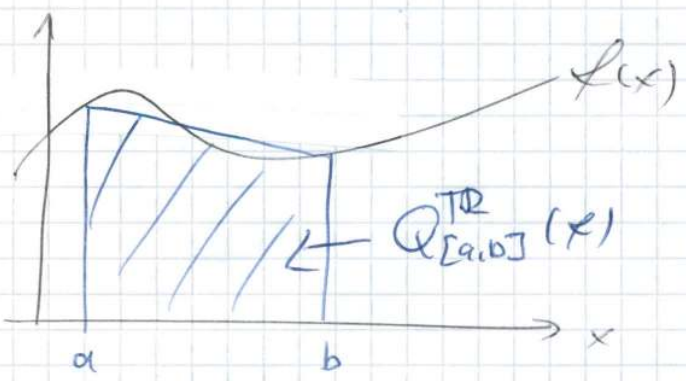
$$\text{und } Q_n^{\text{MP}}(f) = \sum_{k=0}^{n-1} h \cdot f\left(a + \left(k + \frac{1}{2}\right)h\right)$$



(2) Trapezformel: Sei $w=1$, $h = \frac{b-a}{n}$.

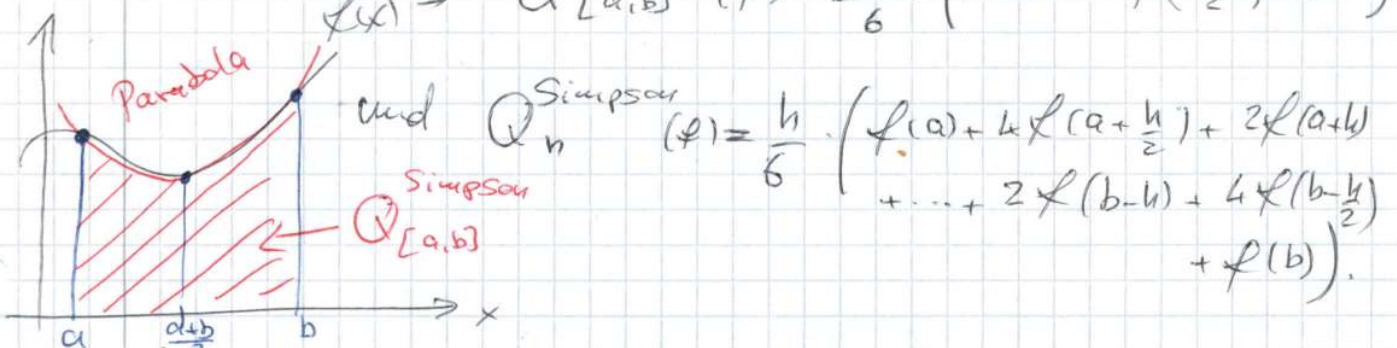
$$\Rightarrow Q_{[a,b]}^{TR}(f) = \frac{b-a}{2} (f(b) + f(a))$$

$$\text{und } Q_n^{TR}(f) = \frac{h}{2} \cdot [f(a) + 2f(a+h) + \dots + 2f(b-h) + f(b)]$$



(3) Simpson-formel: Sei $w=1$, $h = \frac{b-a}{n}$.

$$Q_{[a,b]}^{Simpson}(f) = \frac{b-a}{6} (f(a) + 4f(\frac{a+b}{2}) + f(b))$$



Lemma 4 Für Mittelpunkt und Trapez gilt:

(a) Exaktheitsgrad = 1

(b) Konsistenzordnung = 2

(c) $\forall f \in C^2([a,b])$,

$$\left| \int_a^b f(x) - Q_n^{HP/TR}(f) \right| \leq (b-a) \frac{h^2}{24} \cdot \|f''\|_{L^\infty([a,b])}$$

$$\|f''\|_{L^\infty([a,b])}$$

Beweis: Sei $f(x) = \alpha x + \beta$.

$$\begin{aligned} \Rightarrow \int_a^b f(x) dx &= \alpha \frac{b^2 - a^2}{2} + \beta(b-a) \\ &= (b-a) \left(\alpha \frac{b+a}{2} + \beta \right) \\ &= (b-a) \cdot f\left(\frac{a+b}{2}\right) \\ &= (b-a) \frac{f(a) + f(b)}{2} \end{aligned}$$

$$\Rightarrow \forall p \in \mathbb{P}_1, \mathcal{Q}_{[a,b]}^{MP/TR}(p) = \int_a^b p(x) dx.$$

Aber $\exists f \in \mathbb{P}_2 \setminus \mathbb{P}_1$ s.d.

$$\begin{aligned} \int_a^b f(x) dx &\neq \mathcal{Q}_{[a,b]}^{MP}(f) \\ &\neq \mathcal{Q}_{[a,b]}^{TR}(f). \end{aligned}$$

Bsp: $f(x) = \left(x - \frac{a+b}{2}\right)^2$

$$\begin{aligned} \Rightarrow \int_a^b f(x) dx &= \frac{(b-a)^3}{12} \\ \mathcal{Q}_{[a,b]}^{MP}(f) &= 0 \\ \mathcal{Q}_{[a,b]}^{TR}(f) &= \frac{(b-a)^3}{8}. \end{aligned}$$

(Siehe Übungen)

(b) & (c): Sei $f \in C^2([a,b])$. $\forall x \in [a,b]$,

$$\begin{aligned} f(x) &= f\left(\frac{a+b}{2}\right) + f'\left(\frac{a+b}{2}\right) \left(x - \frac{a+b}{2}\right) \\ &\quad + \frac{1}{2} f''(\xi(x)) \left(x - \frac{a+b}{2}\right)^2 \text{ für} \\ &\text{einer } \xi(x) \in (a,b). \end{aligned}$$

$$\Rightarrow \left| \int_a^b f(x) dx - Q_{[a,b]}^{\text{MP}}(f) \right| \leq$$

$$\leq \int_a^b \frac{|f''(\xi(x))|}{2} \left(x - \frac{a+b}{2}\right)^2 dx$$

$$\leq \|f''\|_{L^\infty([a,b])} \cdot \frac{(b-a)^3}{24}$$

(24)

So, für $Q_n^{\text{MP}}(f)$:

$$\left| \int_a^b f(x) dx - Q_n^{\text{MP}}(f) \right| =$$

$$\leq \left| \sum_{\ell=0}^{n-1} \left(\int_{a+\ell h}^{a+(\ell+1)h} f(x) dx - Q_{[a+\ell h, a+(\ell+1)h]}^{\text{MP}}(f) \right) \right|$$

$$\leq \frac{n \cdot h^3}{24} \cdot \|f''\|_{L^\infty([a,b])} = \frac{b-a}{24} \cdot h^2 \cdot \|f''\|_{L^\infty([a,b])}$$

#

Lemma 5). Für Simpson gilt:

- (a) Exaktheitsgrad = 3
- (b) Konsistenzordnung = 4.
- (c) $\forall f \in C^4([a,b])$,

$$\left| \int_a^b f(x) dx - Q_n^{\text{Simpson}}(f) \right| \leq \frac{b-a}{180} \|f^{(4)}\|_{L^\infty([a,b])} \cdot \left(\frac{h}{2}\right)^4$$

Beweis: (a): Übungen: Man testet, dass

$$\int_a^b x^n dx = Q_{[a,b]}^{\text{Simpson}}(x^n), \quad n=0,1,2,3$$

aber $\exists f \in \mathbb{P}_4 \setminus \mathbb{P}_3$ s.d.

$$\int_a^b f(x) dx \neq Q_{[a,b]}^{\text{Simpson}}(f)$$

ⓑ und ⓐ: Sei $h = \frac{b-a}{n}$. Dann,

$$\begin{aligned}
 & \left| \int_a^b f(x) dx - Q_n^{\text{Simpson}}(f) \right| \leq \\
 & \leq \sum_{k=0}^{n-1} \left| \int_{\alpha+k \cdot h}^{\alpha+(k+1) \cdot h} f(x) dx - Q_{[\alpha+k \cdot h, \alpha+(k+1) \cdot h]}^{\text{Simpson}}(f) \right|
 \end{aligned}$$

Zu zeigen: $\forall \alpha \in [a, b-h]$,

$$\begin{aligned}
 & \left| \int_{\alpha}^{\alpha+h} f(x) dx - Q_{[\alpha, \alpha+h]}^{\text{Simpson}}(f) \right| \leq \\
 & \leq \frac{h}{180} \cdot \|f^{(4)}\|_{L^\infty([a,b])} \cdot \left(\frac{h}{2}\right)^4.
 \end{aligned}$$

Aus Teil ⓐ, wissen wir, dass $\forall p \in \mathbb{P}_3$,

$$\int_{\alpha}^{\alpha+h} p(x) dx = Q_{[\alpha, \alpha+h]}^{\text{Simpson}}(p).$$

Für $p \in \mathbb{P}_3$, Polynom mit

$$\begin{cases}
 p(\alpha) = f(\alpha), \\
 p(\alpha + \frac{h}{2}) = f(\alpha + \frac{h}{2}), \\
 p'(\alpha + \frac{h}{2}) = f'(\alpha + \frac{h}{2}), \\
 p(\alpha + h) = f(\alpha + h).
 \end{cases}
 \Rightarrow Q_{[\alpha, \alpha+h]}^{\text{Simpson}}(p) \stackrel{\text{def.}}{=} Q_{[\alpha, \alpha+h]}^{\text{Simpson}}(f).$$

(Seite 122)

Man kann direkt berechnen: $\int_{\alpha}^{\alpha+h} p(x) dx = \frac{h}{6} (f(\alpha) + 4f(\alpha + \frac{h}{2}) + f(\alpha + h)).$

(Siehe File) (Seite 125b)

Aus Lemma 3, Kapitel 5 (mit $x_0 = \alpha, x_1 = x_2 = \alpha + \frac{h}{2}, x_3 = \alpha + h$)

$$f(x) - p(x) = \frac{f^{(4)}(\xi(x))}{4!} (x-\alpha)(x-\alpha-\frac{h}{2})^2(x-\alpha-h)$$

Für einen $f(x) \in [a, a+h]$.

$$\Rightarrow \left| \int_a^{a+h} f(x) dx - Q_{[a, a+h]}^{\text{Simpson}}(f) \right| = \left| \int_a^{a+h} (f(x) - p(x)) dx \right|$$

$$\leq \frac{\|f^{(4)}\|_{L^\infty([a, a+h])}}{4!} \cdot \int_a^{a+h} (x-a)(x-a-\frac{h}{2})^2 \cdot (a+h-x) dx$$

$$= \frac{h^5}{120}$$

$$\leq h \cdot \frac{\|f^{(4)}\|_{L^\infty([a, b])}}{180} \left(\frac{h}{2}\right)^4 \cdot \#$$

4. Juli

6.2) Newton-Cotes-Formeln

Wie erhält man eine Quadraturformel mit beliebigem Exaktheitsgrad?

Sei $Q_{[a, b]}(f) = \sum_{k=0}^m w_k f(x_k)$ aus Def. 1.

Satz 6) Die Quadraturformel hat Exaktheitsgrad grösser oder gleich m

\Leftrightarrow

$$w_k = \int_a^b L_k(x) w(x) dx, \quad k=0, \dots, m$$

mit L_k die Lagrange Polynome (siehe Def. 1, Kapitel 5).

Beweis: \Rightarrow Exaktheitsgrad $\geq m$

$$\Rightarrow \int_a^b L_k(x) w(x) dx = Q_{[a, b]}(L_k) = \sum_{l=0}^m w_l \underbrace{L_k(x_l)}_{=\delta_{kl}} = w_k.$$

Simpson-Regel.

Hermite Basis: H_0, H_1, H_2, H_3 :

$$p(x) = f(\alpha) H_0(x) + f(\alpha + h/2) H_1(x) + f'(\alpha + h/2) H_2(x) + f(\alpha + h) H_3(x)$$

> $H_0 := -4/h^3 * (x - \alpha - h/2)^2 * (x - \alpha - h)$;

$$H_0 := -\frac{4 \left(x - \alpha - \frac{h}{2} \right)^2 (x - \alpha - h)}{h^3}$$

> $H_1 := - (x - \alpha) * (x - \alpha - h) * 4/h^2$;

$$H_1 := -\frac{4 (x - \alpha) (x - \alpha - h)}{h^2}$$

> $H_2 := - (x - \alpha) * (x - \alpha - h) * (x - \alpha - h/2) * 4/h^2$;

$$H_2 := -\frac{4 (x - \alpha) (x - \alpha - h) \left(x - \alpha - \frac{h}{2} \right)}{h^2}$$

> $H_3 := (x - \alpha - h/2)^2 * (x - \alpha) * 4/h^3$;

$$H_3 := \frac{4 \left(x - \alpha - \frac{h}{2} \right)^2 (x - \alpha)}{h^3}$$

Koeffizienten

> `simplify(int(H0, x=alpha..alpha+h)) ;`

$$\frac{h}{6}$$

> `simplify(int(H1, x=alpha..alpha+h)) ;`

$$\frac{2h}{3}$$

> `simplify(int(H2, x=alpha..alpha+h)) ;`

$$0$$

> `simplify(int(H3, x=alpha..alpha+h)) ;`

$$\frac{h}{6}$$

Laguerre Basis: L0,L1,L2:

$$p(x) = f(\alpha) L_0(x) + f(\alpha + h/2) L_1(x) + f(\alpha + h) L_2(x)$$

> $L_0 := (x - \alpha - h/2) * (x - \alpha - h) * 2/h^2;$

$$L_0 := \frac{2 \left(x - \alpha - \frac{h}{2} \right) (x - \alpha - h)}{h^2}$$

> $L_1 := -(x - \alpha) * (x - \alpha - h) * 4/h^2;$

$$L_1 := -\frac{4 (x - \alpha) (x - \alpha - h)}{h^2}$$

> $L_2 := (x - \alpha) * (x - \alpha - h/2) * 2/h^2;$

$$L_2 := \frac{2 (x - \alpha) \left(x - \alpha - \frac{h}{2} \right)}{h^2}$$

Koeffizienten

> $\text{simplify}(\text{int}(L_0, x = \alpha \dots \alpha + h));$

$$\frac{h}{6}$$

> $\text{simplify}(\text{int}(L_1, x = \alpha \dots \alpha + h));$

$$\frac{2h}{3}$$

> $\text{simplify}(\text{int}(L_2, x = \alpha \dots \alpha + h));$

$$\frac{h}{6}$$

>

$$\Leftarrow: \text{Ist } w_k = \int_a^b L_k(x) w(x) dx$$

(127)

$$\Rightarrow Q_{[a,b]}(L_e) = \sum_{k=0}^m \underbrace{\int_a^b w(x) L_k(x) dx}_{w_k} \cdot \underbrace{L_e(x_k)}_{= \delta_{ke}} = \int_a^b w(x) L_e(x) dx.$$

\Rightarrow Wegen Linearität, $Q_{[a,b]}(p) = \int_a^b w(x) p(x) dx$
 $\forall p \in \mathbb{P}_m$ (da die Laguerre Polynome eine Basis von \mathbb{P}_m sind). #

Def. 7) (a) Die Quadraturformel mit

$$x_k = a + k \cdot \frac{b-a}{m}, \quad k=0, \dots, m$$

und Gewichte $w_k = \int_a^b L_k(x) w(x) dx$

heißt geschlossene Newton-Cotes-Formel.

(b) Die Quadraturformel mit

$$x_k = a + \frac{(k+\frac{1}{2})}{m+1} (b-a), \quad k=0, \dots, m$$

und Gewichte $w_k = \int_a^b L_k(x) w(x) dx$

heißt offene Newton-Cotes-Formel.

Beispiele für $w(x) \equiv 1$.

Mittelpunkt $\boxed{m=0, \text{ offen:}}$ $Q(f) = (b-a) f\left(\frac{a+b}{2}\right)$

Trapez $\cdot \boxed{m=1, \text{ abgeschlossen:}}$ $Q(f) = (b-a) \frac{f(a) + f(b)}{2}$

$\cdot \underline{m=1, \text{ offen:}}$ $Q(f) = (b-a) \frac{f\left(\frac{3}{4}a + \frac{1}{4}b\right) + f\left(\frac{1}{4}a + \frac{3}{4}b\right)}{2}$

Simpson $\cdot \boxed{m=2, \text{ abgeschlossen:}}$ $Q(f) = (b-a) \frac{f(a) + 4f\left(\frac{a+b}{2}\right) + f(b)}{6}$

(128)

$M=2$, offen: $Q(f) = (b-a) \left[\frac{1}{8} f\left(\frac{5a+b}{6}\right) + \frac{1}{12} f\left(\frac{a+b}{2}\right) + \frac{1}{8} f\left(\frac{a+5b}{6}\right) \right]$.

Welche Exaktheitsgrad haben die Newton-Cotes-Familie

Satz 8) Sei $Q(f) = \sum_{k=0}^m w_k f(x_k)$ eine Quadraturformel für $\int_a^b f(x) dx$. Falls $Q(f)$ symmetrisch bzgl. $\frac{a+b}{2}$,
d.h., $\begin{cases} x_{m-k} + x_k = a+b \\ w_{m-k} = w_k \end{cases}, k=0, \dots, m$,
und Q Exaktheitsgrad $\geq 2q$ ($q \in \mathbb{N}$).
 $\Rightarrow Q$ hat Exaktheitsgrad $\geq 2q+1$.

Beweis: Für $p(x) = \left(x - \frac{a+b}{2}\right)^{2q+1}$, wegen Symmetrie folgt $Q(p) = \int_a^b p(x) dx = 0$

$\Rightarrow \forall \tilde{p} \in \text{Span}(\mathbb{P}_{2q}, p) = \mathbb{P}_{2q+1}$ ist
 $Q(\tilde{p}) = \int_a^b \tilde{p}(x) dx \neq 0$

Bsp.: Simpson hat q -priori Exaktheitsgrad ≥ 2 (wegen Satz 6) aber wegen Satz 8 wissen wir sofort, dass Simpson hat Exaktheitsgrad ≥ 3 .

6.3) Gauss-Quadratur

• Seien $a \leq x_0 < x_1 < \dots < x_m \leq b$, $w_k = \int_a^b L_k(x) w(x) dx$.

Satz 6
 $\Rightarrow \mathcal{Q}_{[a,b]}(f) = \sum_{k=0}^m w_k f(x_k) = \int_a^b w(x) f(x) dx$
 $\forall f \in \mathbb{P}_m$.

Frage: Kann man die Knoten x_0, \dots, x_m geschickt wählen um ein höheres Exaktheitsgrad zu erreichen?

Notation: $w(x) = \prod_{k=0}^m (x - x_k) \in \mathbb{P}_{m+1}$.

Satz 9) Sei $k \in \mathbb{N}$. Die Quadraturformel $\mathcal{Q}_{[a,b]}$ hat Exaktheitsgrad $m+k$
 \Leftrightarrow
 $w \perp_w \mathbb{P}_{k-1}$ (bzgl. $L^2(w)$) d.h.,
 $(w, p)_w = \int_a^b w(x) p(x) w(x) dx = 0, \forall p \in \mathbb{P}_{k-1}$.

Beweis: \Rightarrow : Exaktheitsgrad $m+k, \forall p \in \mathbb{P}_{k-1}$,
 $\Rightarrow (w, p)_w = \int_a^b \underbrace{w(x) p(x)}_{\in \mathbb{P}_{m+k}} w(x) dx$
 $= \sum_{k=0}^m w_k \cdot \underbrace{w(x_k) p(x_k)}_{=0} = 0$

(130)

←: Sei $g \in \mathbb{P}_{m+k}$. Dann $\exists p \in \mathbb{P}_{k-1}$
und $q \in \mathbb{P}_m$ s.d.

$$g = p \cdot w + q,$$

weil $\{1, x, \dots, x^m, w(x), w(x) \cdot x, \dots, w(x) \cdot x^{k-1}\}$
ist eine Basis von \mathbb{P}_{m+k} .

$$\begin{aligned} \Rightarrow \int_a^b g(x) w(x) dx &= \int_a^b (p(x)w(x) + q(x)) w(x) dx \\ &= \underbrace{\int_a^b p(x) w(x) w(x) dx}_{=0 = Q_{[a,b]}(p \cdot w)} + \underbrace{\int_a^b q(x) w(x) dx}_{= Q_{[a,b]}(q)} \\ &\stackrel{\text{Linearität}}{=} Q_{[a,b]}(p \cdot w + q). \quad \# \end{aligned}$$

mit $q \in \mathbb{P}_m$

Korollar (a) Der Exakttheitsgrad ist $\leq 2m+1$.

(b) Der Exakttheitsgrad ist $2m+1$

$$\Leftrightarrow w \perp_{\mathbb{P}_m}$$

Beweis: (a) Falls Exakttheitsgrad ist $\geq 2m+2$
 \Rightarrow für $k=m+2$, w ist $\perp_{\mathbb{P}_{k-1}} \mathbb{P}_{k-1} = \mathbb{P}_{m+1}$,
d.h. $(w, w)_w = \int_a^b w(x)w(x) dx = 0$. \downarrow

(b) Satz 3 mit $k=m+1$.

Frage: \exists Knoten x_0, \dots, x_m s.d. $w \perp_{\mathbb{P}_m}$?

Man benutzt dem Gram-Schmidt Verfahren
aus L.A.

• $w_{m+1} \in \mathbb{P}_{m+1}$ mit $w_{m+1} \perp_{w_r} \mathbb{P}_m$ ist so konstruiert:

$$\begin{cases} \cdot w_0(x) = 1, \quad \forall x \in [a, b] \\ \cdot w_{m+1}(x) := x^{m+1} - \sum_{k=0}^m (x^{m+1}, w_k)_{w_r} \cdot w_k(x), \quad n=0, 1, \dots, m. \end{cases}$$

Hier sind einige Eigenschaften von Orthogonalpolynomen.

Lemma 11) (a) $\exists!$ $w_{m+1} \in \mathbb{P}_{m+1} \setminus \{0\}$ s.d. $w_{m+1} \perp_{w_r} \mathbb{P}_m$.

(b) Die Orthogonale Polynome erfüllen die 3-Terme-Rekursion:

$$\begin{cases} w_{m+1}(x) = (x - \alpha_m) w_m(x) - \beta_m w_{m-1}(x), \quad m \geq 0 \\ w_0(x) = 1, \quad w_{-1}(x) \equiv 0 \end{cases}$$

wobei $\alpha_m = \frac{(x \cdot w_m, w_m)_{w_r}}{(w_m, w_m)_{w_r}}$ und

$$\beta_m = \frac{(w_m, w_m)_{w_r}}{(w_{m-1}, w_{m-1})_{w_r}} \quad (\beta_0 \text{ beliebig})$$

(c) w_m hat $m+1$ einfache Nullstellen $x_0 < x_1 < \dots < x_m$ in (a, b) .

Beweis: (a), (b): leicht.

(c) Seien x_0, \dots, x_m die Nullstellen von w_{m+1} mit ungerade Vielfachheit in (a, b) .

Zu zeigen: $k=m$. ($k \leq m$ folgt aus $w_{m+1} \in \mathbb{P}_{m+1}$)

Nehmen wir an, $k < m$.

$$\Rightarrow q(x) := \prod_{e=0}^k (x - x_e) \in \mathbb{P}_{k+1} \subseteq \mathbb{P}_m.$$

Aber $\text{Sign}(q(x) \cdot w_{m+1}(x))$ ist konstant

auf $[a, b] \Rightarrow \int_a^b w_{m+1}(x) q(x) w_r(x) dx \neq 0 \quad \nabla \neq$

Def. 12) Seien x_0, \dots, x_m die Nullstellen von w_{m+1} (aus Lemma 11).

Die Quadratwurzel

$$Q_{[a,b]}^m(f) = \sum_{k=0}^m w_k f(x_k)$$

mit Gewichten

$$w_k = \int_a^b \underbrace{L_k(x) w(x)}_{= \prod_{\substack{e \neq k \\ e=0 \\ x_k - x_e}} (x - x_e)} dx = \int_a^b \frac{w_{m+1}(x)}{a(x - x_k) w_{m+1}'(x)} w_{m+1}(x) dx$$

heißt Gauss-Formel vom Grad $m+1$.

Korollar 3) Gauss-Formel hat ein Exactheitsgrad $2m+1$.

Beweis: Trivial #

Satz 14) Für $s \in \mathbb{N}$, $\exists C > 0$ s.d.

$$\left| Q_{\text{Legendre}}^m(f) - \int_{-1}^1 f(x) dx \right| \leq \frac{C \cdot \|f\|_{S_{1,1}}}{m^s}$$

$$\text{und } \left| Q_{\text{Tchebischer}}^m(f) - \int_{-1}^1 \frac{f(x)}{\sqrt{1-x^2}} dx \right| \leq \frac{C \cdot \|f\|_{S_{1,w}}}{m^s}$$

$\forall f \in C^s([E, 0])$ wobei

$$\|f\|_{S_{1,w}} := \sqrt{\sum_{k=0}^s \|f^{(k)}\|_{w}^2}, \quad \|f\|_w = (f, f)_w$$

(Beweis ... Büchern.)

Beispiele: (a) Tchebishev

Sei $[a, b] = [-1, 1]$ und $w(x) = \frac{1}{\sqrt{1-x^2}}$.

$\Rightarrow T_k(x) := \cos(k \cdot \arccos(x))$, $k=0, 1, \dots$,
die Tchebishev Polynome, sind orthogonal
bzgl. w :

In der Tat:

$$(T_k, T_\ell)_w = \int_{-1}^1 \frac{\cos(k \cdot \arccos(x)) \cdot \cos(\ell \cdot \arccos(x))}{\sqrt{1-x^2}} dx$$

$$\left. \begin{array}{l} x = \cos \theta \\ dx = -\sin \theta d\theta \end{array} \right\} = \int_0^\pi \frac{\cos(k \cdot \theta) \cos(\ell \cdot \theta)}{\sin \theta} \sin \theta d\theta$$

$$= 0, \text{ f\"ur } k \neq \ell$$

$$\cos \alpha \cos \beta = \frac{\cos(\alpha + \beta) + \cos(\alpha - \beta)}{2}$$

(b) Legendre

Sei $[a, b] = [-1, 1]$ und $w(x) = 1$.

Dann $L_k(x) := \frac{1}{2^k k!} \frac{d^k}{dx^k} (x^2 - 1)^k$, $k=0, 1, \dots$,

die Legendre Polynome, sind orthogonal bzgl. w .

(c) Hermite

Sei $[a, b] = (-\infty, \infty)$ und $w(x) = e^{-x^2}$.

$\Rightarrow H_k(x) = (-1)^k e^{x^2} \frac{d^k}{dx^k} e^{-x^2}$, $k=0, 1, \dots$;

die Hermite Polynome sind \perp bzgl. w .

6.4) Splines

Gesucht: Glatte Interpolationen, die aber stückweise Polynome mit kleinem Grad sind.

Def. 15) Sei $[a, b] \subset \mathbb{R}$, $a = x_0 < x_1 < \dots < x_n = b$
 Stützstellen, $m \in \mathbb{N}$ gegeben.
 $\Delta := \{x_0, x_1, \dots, x_n\}$ ist ein Gitter und
 $S_m(\Delta) := \{s \in C^{m-1}([a, b]) \mid s|_{[x_{k-1}, x_k]} \text{ ist ein}$
 Polynom von Grad $m, \forall k=1, \dots, n\}$
 heißt Raum der Splines von Grad m
bzgl. des Gitters Δ .

Beispiele (a) $m=1$: Stückweise lineare stetige Funktionen.

(b) $m=3$: Kubische Splines.

Für $m=3$ sind $s \in S_m$ in C^2 , so wird die Kurve als glatt empfunden.

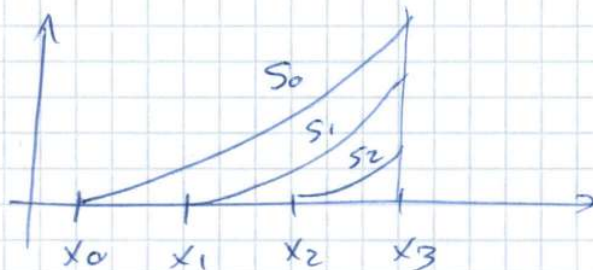
Frage: (1) $\dim(S_m(\Delta)) = ?$

(2) Welche Basis von $S_m(\Delta)$ ist ^(numerisch) geeignet?

(3) Wie berechnet man $S(x)$?

Bemerkung: $s_k(x) = (x - x_k)_+^m$, mit $x_+ := \max(0, x)$
 ist in $S_m(\Delta)$.

$n=3$



Lemma 16 $\left\{ \dim(S_m(\{x_0, \dots, x_n\})) = m+n. \right.$

Einer Basis von $S_m(\{x_0, \dots, x_n\})$ ist

$$\left\{ \underbrace{1, x-x_0, \dots, (x-x_0)^m}_{m+1}, \underbrace{(x-x_1)_+, \dots, (x-x_{n-1})_+}_{n-1} \right\}$$

Beweis: Induktion über n :

$n=1$: $S_m(\{x_0, x_1\})$ sind Polynome mit Grad

$m \Rightarrow \{1, x-x_0, \dots, (x-x_0)^m\}$ ist eine Basis

• Sei nun Lemma 16 OK für n .

$\Rightarrow (x-x_n)_+^m$ ist linear unabhängig von

$(x-x_1)_+^m, \dots, (x-x_{n-1})_+^m$, weil $(x-x_n)_+ = 0$ auf $[x_0, x_n]$.

In der Tat: Nehmen wir an $\exists \alpha_1, \dots, \alpha_{n-1}$ s.d.

$$(*) \quad \alpha_1 (x-x_1)_+^m + \dots + \alpha_{n-1} (x-x_{n-1})_+^m = (x-x_n)_+^m$$

und sei $e = \min\{1, \dots, n-1 \mid \alpha_k = 0 \text{ für } k \in e\}$,
 $x_e \neq 0$

\Rightarrow auf $[x_e, x_{e+1}]$ ist $(*)$:

$$x_e \cdot (x-x_e)^m = (x-x_n)_+^m = 0 \quad \downarrow$$

Dazu, $(x-x_n)_+^m$ ist linear unabhängig von

$$1, x-x_0, \dots, (x-x_0)^m,$$

weil $(x-x_n)_+^m$ hat ∞ -Viele Nullstellen in $[x_0, x_n]$
 und der einzige Polynom in \mathbb{P}_m mit ∞ -Viele Nullstellen
 ist Null.

(36)

Aber $(x-x_n)_+^m$ ist nicht identisch gleich Null auf $[x_0, x_{n+1}]$.

⇒ Wir haben gezeigt, dass

$$S_m(\{x_0, \dots, x_{n+1}\}) \supseteq \text{Spann} \left\{ 1, \dots, (x-x_0)_+^m, (x-x_1)_+^m, \dots, (x-x_n)_+^m \right\}.$$

• Um die Umgekehrte Inklusion zu zeigen, muss man sehen, dass

$$\forall s \in S_m(\{x_0, \dots, x_{n+1}\}),$$

$$s|_{[x_0, x_n]} \in S_m(\{x_0, \dots, x_n\}).$$

• Aus IV ⇒ $\exists \alpha_k, \beta_e \in \mathbb{R}$ mit

$$s(x) = \tilde{s}(x) := \sum_{k=0}^m \alpha_k (x-x_0)^k + \sum_{e=1}^{n-1} \beta_e \cdot (x-x_e)_+^m, \\ \forall x \in [x_0, x_n].$$

• Dazu ist $s \in C^{m-1}$

$$\Rightarrow s^{(k)}(x_n) = \tilde{s}^{(k)}(x_n), \quad 0 \leq k \leq m-1.$$

• Aber $s - \tilde{s}$ auf $[x_n, x_{n+1}]$ ist ein Polynom vom Grad m

$$\Rightarrow \exists \beta_n \in \mathbb{R} \text{ s.d.}$$

$$s(x) - \tilde{s}(x) = \beta_n (x-x_n)^m, \quad \forall x \in [x_n, x_{n+1}]$$

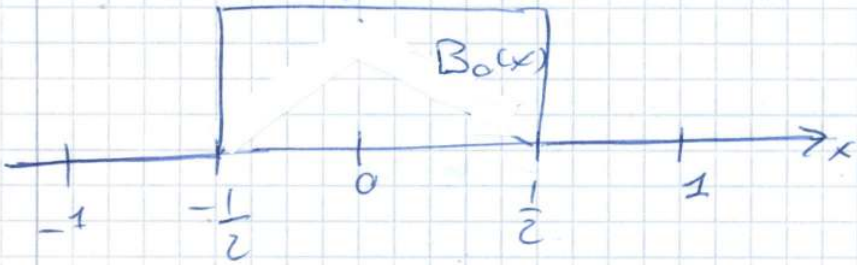
$$\Rightarrow s(x) = \tilde{s}(x) + \beta_n (x-x_n)^m, \quad \forall x \in [x_0, x_{n+1}]$$

• Geeignete Basis: Bell-splines

• Seien die Stützstellen äquidistant:

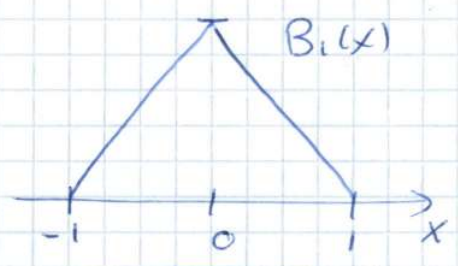
$$x_k = a + h \cdot k, \quad k=0, \dots, n \text{ mit } h = \frac{b-a}{n}.$$

Sei $B_0(x) := \begin{cases} 1, & |x| \leq 1/2, \\ 0, & |x| > 1/2. \end{cases}$



und rekursiv

$$B_{m+1}(x) := \int_{x-\frac{1}{2}}^{x+\frac{1}{2}} B_m(t) dt$$



Siehe auch Seite 137b

Einige Eigenschaften von B_m .

Lemma 17 $\forall m \in \mathbb{N}$ gilt:

(a) $B_m \in C^{m-1}(\mathbb{R})$, $B_m(x) = 0$ für $|x| \geq \frac{m+1}{2}$.

(b) $B_m \in S_m(\Delta_m)$ mit

$$\Delta_m = \left\{ -\frac{m+1}{2}, -\frac{m-1}{2}, \dots, \frac{m-1}{2}, \frac{m+1}{2} \right\}.$$

Beweis: Induktion über m .

Für $m=1$: klar.

Sei Lemma 17 wahr für m , d.h.,

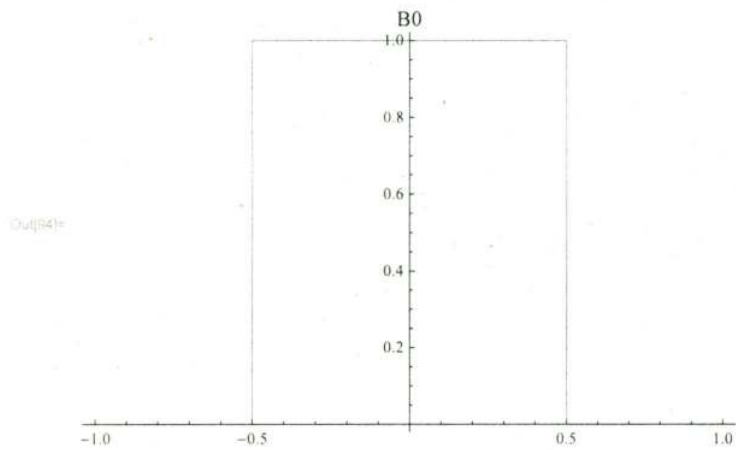
Aus $B_m \in C^{m-1}$ folgt $B_{m+1} \in C^m$

(weil B_{m+1} Integral von B_m ist).

$B_m(x) = 0$ für $|x| \geq \frac{m+1}{2}$ ist auch klar.

\Rightarrow (a) ist ok für $m+1$.

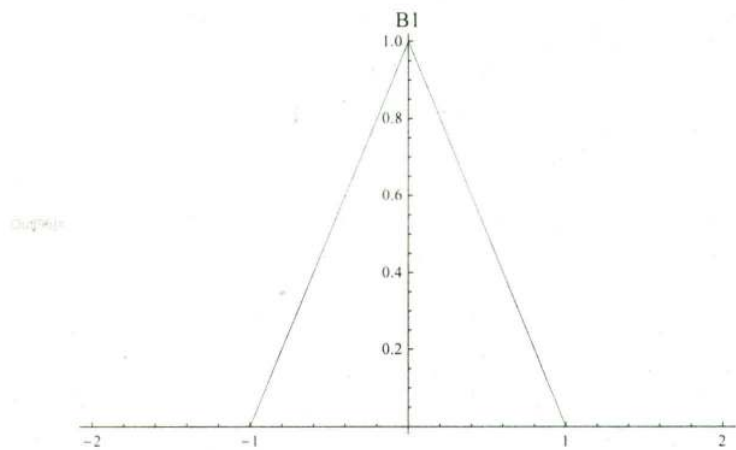

```
In[94] = Plot[BSplineBasis[0, x + 1 / 2], {x, -1, 1}, PlotLabel -> B0]
```



```
In[95] = PiecewiseExpand[BSplineBasis[0, x + 1 / 2]]
```

Out[95] =
$$\begin{cases} 1 & -\frac{1}{2} \leq x \leq \frac{1}{2} \\ 0 & \text{True} \end{cases}$$

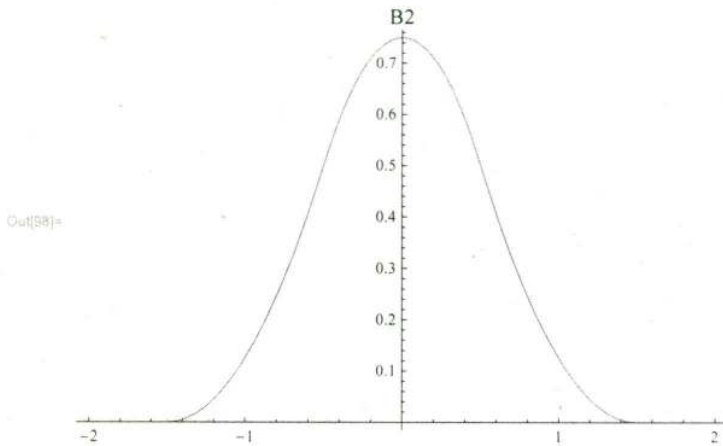
```
In[96] = Plot[BSplineBasis[1, x / 2 + 1 / 2], {x, -2, 2}, PlotLabel -> B1]
```



```
In[97] = PiecewiseExpand[BSplineBasis[1, x / 2 + 1 / 2]]
```

Out[97] =
$$\begin{cases} 1 - x & 0 \leq x \leq 1 \\ 1 + x & -1 \leq x < 0 \\ 0 & \text{True} \end{cases}$$

```
In[98] = Plot[BSplineBasis[2, x / 3 + 1 / 2], {x, -2, 2}, PlotLabel -> B2]
```

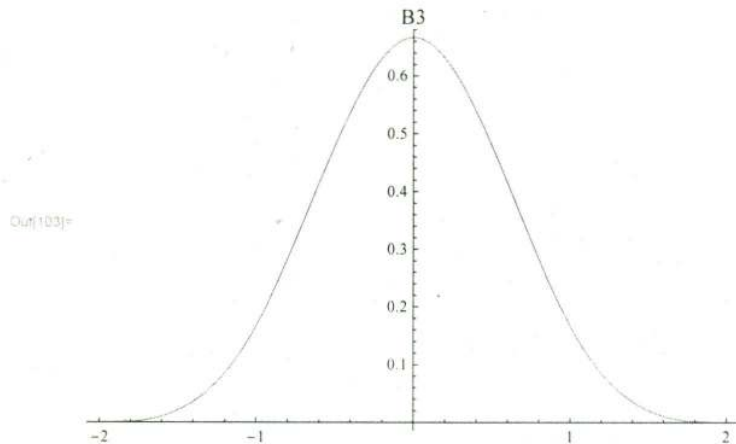


```
In[99] = PiecewiseExpand[BSplineBasis[2, x / 3 + 1 / 2]]
```

Out[99]=

$$\begin{cases} \frac{1}{4} (3 - 4x^2) & -\frac{1}{2} \leq x < \frac{1}{2} \\ \frac{1}{6} (9 - 12x + 4x^2) & \frac{1}{2} \leq x \leq \frac{3}{2} \\ \frac{1}{6} (9 + 12x + 4x^2) & -\frac{3}{2} \leq x < -\frac{1}{2} \\ 0 & \text{True} \end{cases}$$

```
In[103] = Plot[BSplineBasis[3, x / 4 + 1 / 2], {x, -2, 2}, PlotLabel -> B3]
```



```
In[104] = PiecewiseExpand[BSplineBasis[3, x / 4 + 1 / 2]]
```

Out[104]=

$$\begin{cases} \frac{1}{6} (4 - 6x^2 - 3x^3) & -1 \leq x < 0 \\ \frac{1}{6} (8 - 12x + 6x^2 - x^3) & 1 \leq x \leq 2 \\ \frac{1}{6} (8 + 12x + 6x^2 + x^3) & -2 \leq x < -1 \\ \frac{1}{6} (4 - 6x^2 + 3x^3) & 0 \leq x < 1 \\ 0 & \text{True} \end{cases}$$

Dazu, $\frac{d}{dx} B_{m+1}(x) = B_m(x + \frac{1}{2}) - B_m(x - \frac{1}{2})$.

Da B_m ist ein Polynom vom Grad m ausserhalb Δ_m , ist $\frac{d}{dx} B_{m+1}(x)$ ein Polynom vom Grad m ausserhalb Δ_{m+1} . #

Satz 18 (B-Spline Basis).

Die Funktionen $B_{m,k}(x) := B_m(\frac{x - (a + h \cdot k)}{h})$, für $k = -\frac{m-1}{2}, -\frac{m-1}{2} + 1, \dots, \frac{m-1}{2} + n$, bilden eine Basis von $S_m(\Delta)$ mit $\Delta = \{x_k = a + k \cdot h \mid k = 0, \dots, n, \text{ mit } h = \frac{b-a}{n}\}$.

Beweis: Das ist leicht zu zeigen, dass die $B_{m,k}$ sind linear unabhängig und sind insgesamt $m+n$. #

Problem: Interpolation für kubische Splines.

Seien $y_0, \dots, y_n \in \mathbb{R}$ und $y_{0,1}, y_{n,1} \in \mathbb{R}$ gegeben.

Wir suchen $S \in S_3(\Delta)$ mit:

$S(x_k) = y_k, k = 0, 1, \dots, n$

und Randbedingungen:

(a) Hermite: $S'(a) = y_{0,1}, S'(b) = y_{n,1}$.

oder (b) Periodisch: $S'(a) = S'(b), S''(a) = S''(b)$

oder (c) "Natürliche": $S''(a) = S''(b) = 0$.

Beweis: Es gilt: $B_3(0) = \frac{2}{3}$, $B_3(\pm 1) = \frac{1}{6}$, $B_3(k) = 0, |k| \geq 2$
 $B_3'(0) = 0$, $B_3'(\pm 1) = \mp \frac{1}{2}$, $B_3'(k) = 0, |k| \geq 2$

$$\Rightarrow \text{Für } l=0, \dots, n: S(x_l) = \sum_{k=-1}^{n+1} c_k \cdot B_3\left(\frac{x-x_k}{h}\right)$$

$$= \frac{2}{3}c_0 + \frac{1}{6}(c_{-1} + c_{n+1}) \stackrel{!}{=} y_l.$$

$$\text{Für } l=0, \dots, n: S'(x_l) = \sum_{k=-1}^{n+1} c_k \cdot B_3'\left(\frac{x-x_k}{h}\right) \cdot \frac{1}{h}$$

$$= \frac{1}{h} \cdot (c_{-1} + c_{n+1}) \stackrel{!}{=} y_{l,1}. \quad \#$$

• Was noch fehlt ist die Eindeutigkeit der Lösung. Man kann zeigen ^{aber nicht trivial} dass (für $n \geq 1$)
 $\det(M) \neq 0 \Rightarrow$ Die c_k sind eindeutig. :-).